

# ИССЛЕДОВАНИЯ В ОБЛАСТИ ПРОИЗВОДНЫХ АСИММЕТРИЧНО ЗАМЕЩЕННОГО мио-ИНОЗИТА

## XXXVII\*. СИНТЕЗ ПРОИЗВОДНЫХ ГЛИКОЗИЛФОСФАТИДИЛИНОЗИТА

© 1995 г. Н. С. Шастина, Л. И. Эйнисман, И. И. Каширичева,  
А. Е. Степанов<sup>#</sup>, В. И. Швец

Московская государственная академия тонкой химической технологии им. М.В. Ломоносова,  
117571, Москва, просп. Вернадского, 86

Поступила в редакцию 20.07.94 г. После доработки 12.01.95 г.

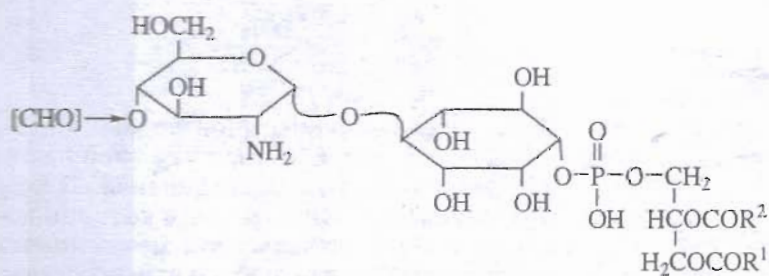
Осуществлен полный синтез 1(3)-O-(*rac*-1,2-дипальмитоилглицерофосфо)-4(6)-O-(2-амино-2-дезокси- $\beta$ -D-глюкопиранозил)-*sn*-*мио*-инозита и его структурного изомера – 1(3)-O-(2-амино-2-дезокси- $\beta$ -D-глюкопиранозил)-4(6)-O-(*rac*-1,2-дипальмитоилглицерофосфо)-*sn*-*мио*-инозита через последовательные стадии селективного блокирования-деблокирования гидроксильных групп циклического кольца, введения аминогликозидного остатка в условиях оксазолинового метода гликозилирования и образования фосфодиэфирной структуры в замещенных производных *мио*-инозита с использованием двух вариантов водород-фосфонатного метода.

**Ключевые слова:** мио-инозит, гликозилфосфатицилиноцит, гликозилирование оксазолинами сахаров, водогрод-фосфонатный метод.

В настоящее время значительно возрос интерес к изучению структуры и функций природных инозитсодержащих гликолипидов. Так, в частности, для гликозилфосфатидилинозитов (ГФИ) установлена ключевая роль в механизмах "заякоривания" ряда важнейших белков в плазматической мембране [5, 6]. ГФИ также служат предшественниками инозитгликановых соединений, для которых предполагается участие в качестве вторичных посредников в ходе действия инсулина на клетки организма [7]. Систематическое исследование биологических функций и свойств ГФИ

сдерживается по причине низкого содержания их в природных источниках и сложности выделения в необходимых количествах. Это определяет актуальность создания эффективных методов химического синтеза ГФИ, их фрагментов и модифицированных аналогов, которые позволят получать их в количествах, достаточных для выполнения комплекса структурно-функциональных и биологических исследований.

В основе строения всех природных ГФИ находится общий структурный элемент [5]:



В последние годы начаты работы по синтезу ГФИ и их главных структурных компонентов [8-15]. Наши исследования в этом направлении имеют целью развитие новых методов препара-

\* Сообщение XXXVI см. [1].

Для асимметрично замещенных производных мио-инозита и глицирина используется стереоспецифическая номенклатура [2 - 4]. ГФИ – гликозилфосфатидилинозит.

\* Автор для переписки.

тивной химии и нозитсодержащих гликолипидов для последующего изучения их биологической активности и использования в качестве биохимических субстратов. В настоящем сообщении представлены результаты полного синтеза 1(3)-O-(*rac*-1,2-дипальмитоилглицерофосфат)-4(6)-O-(2-амино-2-дезокси- $\beta$ -D-глюкопиранозил)-*sn*-*мо*-инозита (9), являющегося  $\beta$ -аномерным аналогом глюкозаминидного звена природных ГФИ, а также его

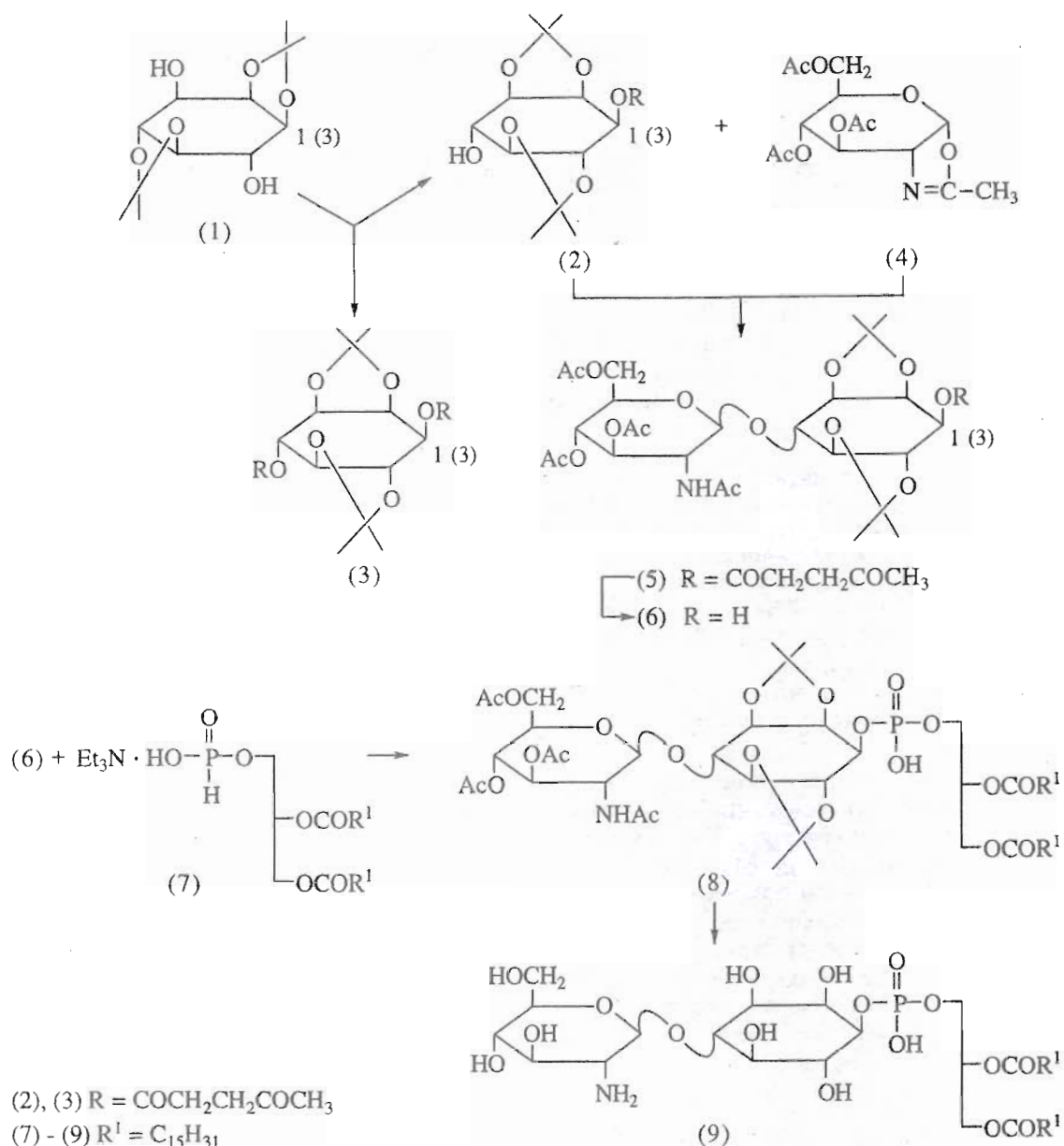


Схема 1.

позиционного изомера – 1(3)-O-(2-амино-2-дезокси- $\beta$ -D-глюкопиранозил)-4(6)-O-(*rac*-1,2-дипальмитоилглицерофосфо)-*sn*-мио-инозита (17)\*.

Начальный этап работы состоял в разработке условий препаративного синтеза рацемических частично замещенных производных мио-инозита, структура которых позволяла бы провести последовательное направленное гликозилирование и фосфорилирование в ходе синтеза ГФИ. Ацилирование 1(3),2;4(6),5-ди-O-изопропилен-*sn*-мио-инозита (1) (получен по модифицированному методу Гигга [17]) левулиновой кислотой в присутствии дициклогексилкарбодиимида приводило к

смесиmono- и диацильного производных (2, 3), разделенной колоночной хроматографией на силикагеле (схема 1). Строение соединения (2) подтверждено данными ПМР-спектра, в котором появились тройные сигналы двух метиленовых групп и синглетный сигнал ацетильных протонов, а также с помощью ИК-спектроскопии, элементного анализа и ТСХ.

На основании ряда предыдущих работ было показано, что в реакциях замещения по типу S<sub>N</sub>2 в частично замещенных производных мио-инозита 3(1)-ОН-группа существенно более реакционноспособна по сравнению с гидроксигруппой в положении 6(4) [18]. С учетом этих данных о сравнительной реакционной способности гидроксильных групп в асимметрично замещенных

\* Письмо Редактору см. [16].

производных *мио*-инозита можно достоверно считать, что местом присоединения ацильного остатка в производном (2) является положение 3(1) циклического кольца. Моногидроксильное соединение (2) далее было использовано для направленного введения углеводного остатка в положение 6(4) кольца *мио*-инозита.

В природных ГФИ углеводный остаток, непосредственно соединенный с *мио*-инозитом, представлен глюказамином со свободной аминогруппой. Таким образом, при выборе методов синтетического построения структуры этого типа инозитсодержащих гликолипидов возникла необходимость найти удобный подход к образованию глюказаминидной связи между фрагментами инозита и аминосахара. Ранее для этой цели применяли метод Кенигса–Кнорра [9–11], гликозилфторидный [8] и трихлорацетимидатный [12, 13] методы гликозилирования, а также использовали *n*-пентенильные гликозильные доноры [14, 15]. Указанные методы образования глюказаминидной связи характеризуются высокой стереоспецифичностью и хорошими выходами получаемых гликозидных производных.

В данной работе использован оксазолиновый метод гликозилирования, показавший хорошие результаты в химии олигосахаридов [19]. В качестве гликозильного донора был применен 2-метил-(3,4,6-три-O-ацетил-1,2-дидезокси- $\alpha$ -D-глюкопирано)[2,1-*d*]-2-оксазолин (4) [20], гликозилирование соединения (2) проводили в присутствии кислотного катализатора (*n*-толуолсульфокислоты) при соотношении оксазолин–спирт, близком к эквимолярному, в кипящей смеси нитрометан–толуол (1 : 1) в течение 50–60 мин. Глюказаминид (5) выделяли хроматографией на силикагеле с выходом 40.7%. Данный метод гликозилирования является стереоспецифичным и приводит к образованию 1,2-транс-гликозидной связи. Рассмотрение данных ПМР-спектроскопии подтвердило  $\beta$ -конфигурацию аномерного центра в гликозилинозите (5): сигнал гликозидного протона проявляется в виде дублета с химическим сдвигом в области 4.65 м. д. ( $J_{1,2}$  8 Гц), что согласуется с известными данными для  $\beta$ -аминогликозидов. Структурную идентичность полученного  $\beta$ -связанного производного (5) подтверждали данными  $^{13}\text{C}$ -ЯМР-спектроскопии ( $\delta_{\text{C},1}$  100.96 м. д.).

Таким образом, простота получения исходного гликозильного остатка, мягкие условия протекания гликозилирования, высокая стереоспецифичность реакции и достаточно высокий выход конечного продукта позволяют рекомендовать оксазолиновый метод для препаративного синтеза гликозилинозитов.

На следующем этапе работы необходимо было перейти к пентазамещенному производному *мио*-инозита (6) со свободной гидроксильной группой в положении 1(3) циклического кольца для

последующего введения остатка фосфатидной кислоты. С целью избирательного удаления блокирующей группы из положения 1(3) соединения (5) его обработали гидразингидратом в смеси пиридина–уксусная кислота (4 : 1). После обработки реакционной смеси и хроматографической очистки было выделено моногидроксильное производное (6) с выходом 96.6%. Строение соединения (6) установлено совокупностью данных  $^1\text{H}$ -ЯМР-, ИК-спектроскопии, элементного анализа и ТСХ. Так, в спектре  $^1\text{H}$ -ЯМР исчезли сигналы метильных и метиленовых протонов левулиноильной группы при сохранении сигналов протонов ацетильных защит углевода в области 1.96–2.20 м. д.

Следует отметить, что примененное сочетание двух основно-лабильных защитных групп (левулиноильной и ацетильной) при получении производного (6) позволило выполнить заданные условия синтеза: легкость и избирательность введения левулиноильной группы в положение 3(1) дикетала (1); устойчивость левулиноильной защитной группы в условиях гликозилирования производного *мио*-инозита; селективное удаление левулиноильной защитной группировки из замещенного гликозилинозита без разрушения гликозидной связи и с сохранением ацетильных защитных групп в углеводном фрагменте.

Определяющим этапом в направленном химическом синтезе сложных фосфолипидов является создание фосфодиэфирной структуры. В синтезе фосфоинозитидов проведение фосфорилирования связано с определенными трудностями, обусловленными локализацией гидроксигрупп при вторичном атоме углерода, их различной пространственной ориентацией друг относительно друга и циклического кольца, влиянием других функциональных групп молекулы липида. В химии фосфоинозитидов в основном развиты два подхода к созданию фосфодиэфирной структуры. Во многих случаях для этой цели использовался фосфодиэфирный метод [18], в условиях которого часто наблюдается образование побочных продуктов, что приводит к снижению выходов целевых соединений. Применение фосфотриэфирной методологии в ряду производных *мио*-инозита [21], хотя и обладает несомненным достоинством с точки зрения направленности протекания реакций и выхода образующегося фосфотриэфира, сопровождается значительными потерями целевого продукта при деблокировании защищенного фосфата.

Значительными преимуществами в сравнении с указанными подходами обладает использование методов химии трехвалентного фосфора для синтеза фосфолипидов [8, 22]. Высокая реакционная способность фосфитилирующих реагентов и получаемых на их основе промежуточных соединений позволяет в мягких условиях создавать фосфоэфирные связи с участием как первичных, так

и малореакционноспособных вторичных гидроксильных групп. С целью приска более удобных подходов к синтезу фосфоэфирных производных *мио*-инозита нами был выбран Н-фосфонатный метод фосфорилирования. Он заключается в использовании промежуточных Н-фосфонатов на стадии создания фосфодиэфирной структуры липида и привлекает доступностью и высокой активностью реагентов, простотой экспериментального выполнения.

Для получения инозитсодержащего фосфолипида (8) была использована триэтиламмониевая соль 1,2-дипальмитоил-*рас*-глицеро-3-Н-фосфоната (7) [23]. Синтез промежуточного Н-фосфонатного диэфира осуществляли конденсацией глицеро-Н-фосфоната (7) с 1.5 - 2 экв. гидроксильного компонента (6) в пиридине под действием пивалоилхлорида (2 - 3 экв.). Данные ТСХ свидетельствовали о полном превращении соединения (7) в соответствующий глицеро-Н-фосфонатный диэфир в течение 5 мин, который без выделения из реакционной смеси подвергали окислению раствором иода в водном пиридине. После хроматографии на силикагеле выход защищенного фосфоинозита (8) составил 59% (в расчете на фосфонат (7)).

Так как данные ТСХ на этапах синтеза фосфолипида (8) свидетельствовали о практическом количественном превращении исходного реагента в продукт, относительно невысокий выход целевого соединения (8), по-видимому, обусловлен потерями на стадиях обработки и выделения, а не образованием побочных продуктов при конденсации и окислении. Строение соединения (8) было подтверждено спектральными данными ( $^{31}\text{P}$ -ЯМР ( $\delta_p$  -2.14 м. д.),  $^{13}\text{C}$ -ЯМР- и ИК-спектроскопией).

Последовательное удаление защитных групп в соединении (8) действием 50% водной уксусной кислоты и спиртовым раствором гидразингидрата привело к гликозилфосфатидилинозиту (9). Для сохранения сложноэфирных связей ацильных цепей в глицериновом фрагменте использовали методику селективного удаления ацетатов, основанную на образовании мицеллярной структуры липида в системе этанол-вода [24]. Структура соединения (9) была доказана с помощью ЯМР-спектроскопии, элементного анализа и ТСХ.

Таким образом, применение Н-фосфонатного метода для образования фосфодиэфирной связи в производных *мио*-инозита продемонстрировало эффективность такого подхода в синтезе инозитсодержащих гликофосфолипидов сложного строения.

Очевидно, что при образовании фосфодиэфирной структуры соединений *мио*-инозита возможно использование двух синтетических последовательностей: конденсации Н-фосфоната диглицерида с моногидроксильным производным замещенного *мио*-инозита (схема 1) либо Н-фосфонатного производного *мио*-инозита с диглицеридным компонентом. По второму варианту,

исходя из рацемического  $\beta$ -бензоилпропионильного эфира *мио*-инозита (10), нами был синтезирован инозитсодержащий гликолипид (17), в котором порядок локализации остатков углевода и фосфатидной кислоты изменен на обратный (последние 1 и 4 соответственно) в сравнении с природной структурой ГФИ (схема 2).

Соединение (10) синтезировали аналогично левулиноильному производному *мио*-инозита (2), т.е. селективным ацилированием дикетала (1)  $\beta$ -бензоилпропионовой кислотой при активирующем действии дициклогексилкарбодиимида с последующим выделением целевого продукта (10) с помощью колоночной хроматографии на силикагеле. Фосфитилирование пентазамещенного производного (10) триимидаэзолилфосфитом  $\text{P}(\text{Im})_3$ , полученным непосредственно перед использованием, проводили при  $-10^\circ\text{C}$  с последующим разложением реакционной массы водой [25]. Образующийся Н-фосфонат (12) выделяли в виде аморфной триэтиламмониевой соли хроматографией на силикагеле с выходом 93%. Данные  $^{31}\text{P}$ -ЯМР-спектроскопии соединения (12) ( $\delta_p$  -1.29 м. д.,  $J_{\text{PH}}$  642.5 Гц) свидетельствуют о региоселективности реакции фосфитилирования в использованных условиях и отсутствии побочных продуктов. Последующее превращение в Н-фосфонат-диэфир осуществляли взаимодействием с 1,2-дипальмитоил-*рас*-глицерином (13), полученным по методу [26], в присутствии конденсирующих агентов: 2,4,6-триизопропилбензольсульфохлорида (TPS) или пивалоилхлорида. Н-Фосфонатный диэфир без выделения в индивидуальном состоянии окисляли раствором иода в водном пиридине, после обработки реакционной смеси продукт (14) выделяли колоночной хроматографией на силикагеле с выходом 75.4%.

Данные  $^1\text{H}$ -,  $^{31}\text{P}$ -ЯМР-спектроскопии и элементного анализа полностью замещенного производного (14) свидетельствуют об образовании фосфодиэфирной связи между инозитным и диглицеридным компонентами. В спектре  $^{31}\text{P}$ -ЯМР содержится характерный сигнал фосфатной группы ( $\delta_p$  -2.42 м. д.).

Наиболее удобным активирующим агентом в реакции конденсации оказался пивалоилхлорид. Его применение позволяет провести реакцию быстро (10 - 15 мин) и без побочных превращений, тогда как при использовании TPS время реакции значительно возрастает (2 сут), а выход целевого фосфодиэфира (14) не превышает 40%.

Для последующего усложнения структуры путем введения углеводного остатка в синтезированный фосфолипид (14) потребовалось сначала селективно удалить сложноэфирную ( $\beta$ -бензоилпропионильную) защитную группировку из положения 1(3) циклического кольца, сохранив при этом жирнокислотные остатки, а затем ввести в освободившееся положение аминосахар.

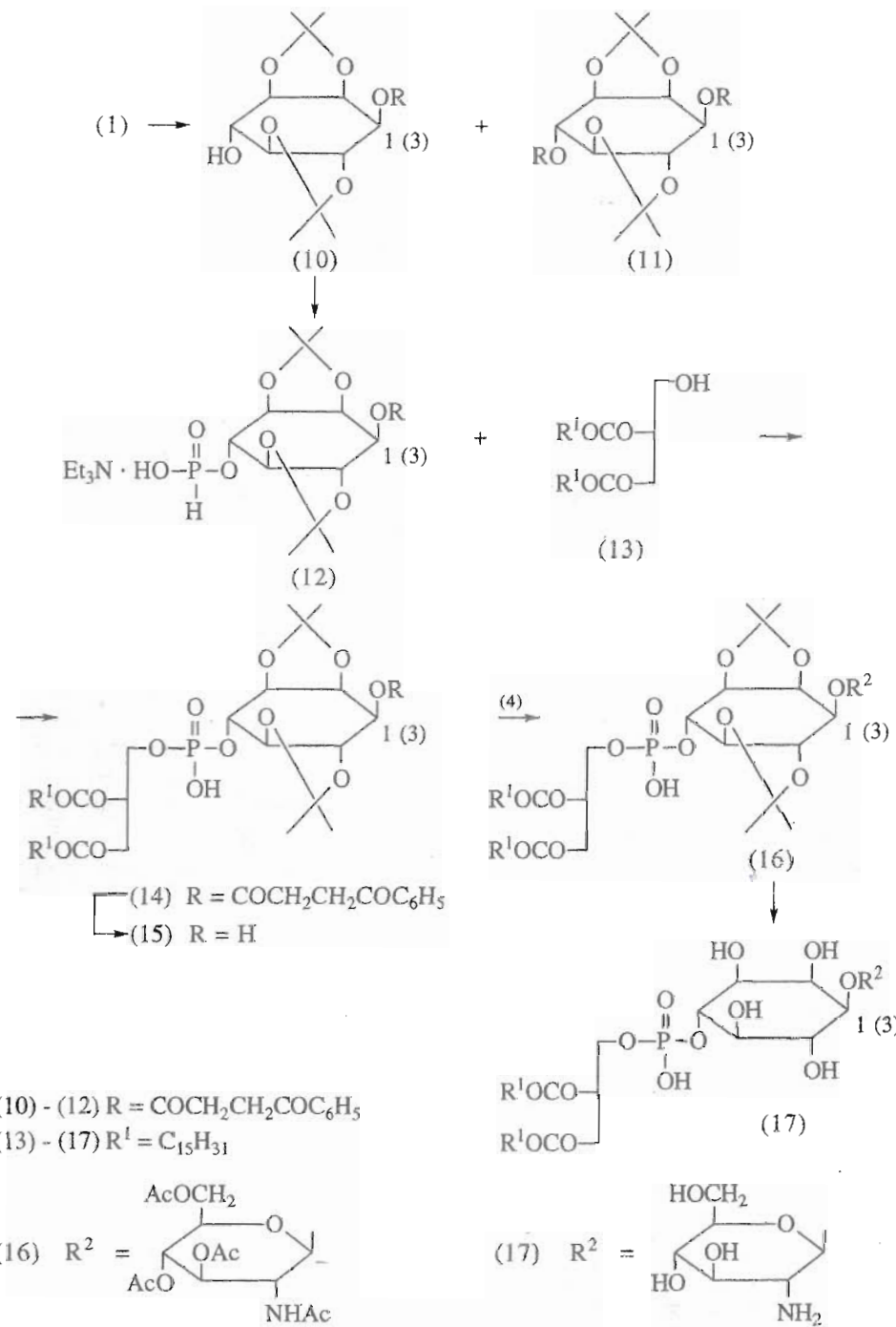


Схема 2.

Для выполнения первого этапа избирательное деацилирование  $\beta$ -бензоилпропионильного остатка в соединении (14) проводили действием спиртового раствора гидразингидрата при  $40^\circ\text{C}$  в течение 1 ч; после нейтрализации и упаривания реакционной смеси с помощью колоночной хроматографии на силикагеле выделяли моногидроксильное производное (15) (выход 61%). Данные  $^1\text{H}$ -ЯМР- и ИК-спектроскопии подтверждали структуру частично замещенного производного (15).

Для введения аминогликозидного остатка в свободное положение 1(3) соединения (15) использовался оксазолиновый метод, применявшийся ранее для более простых производных *мио*-инозита. Взаимодействие оксазолина (4) с фосфолипидом (15) в эквимолярных количествах при катализитическом воздействии *n*-толуолсульфокислоты в кипящей смеси толуол–нитрометан приводило к образованию глюказаминидного производного *мио*-инозита (16), которое выделяли

хроматографией на силикагеле (выход 51%). Гликозилинозит (16), по данным  $^1\text{H}$ -ЯМР-спектроскопии, имел  $\beta$ -конфигурацию аномерного центра ( $\delta$  4.62 м. д.,  $J_{1,2}$  8 Гц).

После двухэтапного деблокирования диэфира (16) 50% водной уксусной кислотой и спиртовым раствором гидразингидрата получали гликозилфосфатилинозит (17), являющийся структурным изомером природных ГФИ. По данным ЯМР-спектроскопии и элементного анализа, условия удаления защитных групп в соединении (16) не вызывали разрыва гликозидной связи и гидролиза жирнокислотных остатков.

Таким образом, Н-фосфонатный метод в применении к синтезу фосфоинозитидов обладает несомненными преимуществами перед традиционным фосфодиэфирным подходом, который менее эффективен по выходу целевых продуктов и более трудоемок экспериментально. Фосфотриэфирный метод в этом случае дает более высокий выход при образовании фосфоэфирной связи, но отличается существенными потерями продукта при удалении фосфатных защитных групп.

## ЭКСПЕРИМЕНТАЛЬНАЯ ЧАСТЬ

Спектры  $^1\text{H}$ - и  $^{13}\text{C}$ -ЯМР регистрировали на импульсном ЯМР-спектрометре Bruker MSL-200 (ФРГ) с рабочей частотой 200 и 50.32 МГц на ядрах  $^1\text{H}$  и  $^{13}\text{C}$ . Спектры  $^1\text{H}$ -ЯМР записывали в дейтерированных растворителях с гексаметилдисилоксаном в качестве внутреннего стандарта. Спектры  $^{13}\text{C}$ -ЯМР записывали в дейтерированных растворителях с широкополосным подавлением спин-спинового взаимодействия  $^{13}\text{C}$ - $\{^1\text{H}\}$ . Спектры  $^{31}\text{P}$ -ЯМР записывали на спектрометре Bruker HSL-250 (ФРГ) с фурье-преобразованием на частоте 101.05 МГц в дейтерированных растворителях с широкополосным гетероядерным подавлением спин-спинового взаимодействия  $^{31}\text{P}$ - $\{^1\text{H}\}$ ; сдвиги приведены относительно 85% ортофосфорной кислоты (внешний стандарт).

ИК-спектры снимали на спектрометре Shimadzu IR-435 (Япония) в вазелиновом масле для кристаллических веществ и в пленке для маслообразных. Температуры плавления измеряли на приборе Boetius (ГДР). Элементный анализ выполняли на автоматическом анализаторе Heraeus CHNO-Rapid (ФРГ).

Колоночную хроматографию проводили на силикагеле L 40/100 (Chemapol, Чехо-Словакия); TCX – на пластинках Silufol (Чехо-Словакия) (вариант I) или на стеклянных пластинках Kieselgel 60 (Merck, ФРГ) (вариант II), используя следующие системы растворителей: хлороформ–ацетон, 9 : 2 (A), диэтиловый эфир–метанол, 10 : 1 (B), хлороформ–ацетон, 3 : 1 (B), хлороформ–метанол–20% водный аммиак, 70 : 15 : 2 (Г), хлоро-

форм–метанол–вода, 65 : 25 : 4 (Д), хлороформ–ацетон, 9 : 1 (E). Обнаружение пятен проводили прокаливанием при 250°C для варианта I или раствором молибдата аммония в 30% серной кислоте с последующим прокаливанием при 250–300°C для варианта II.

Тетрагидрофuran, триэтиламин кипятили над гидридом кальция и перегоняли. Диоклорметан кипятили и перегоняли над пятиокисью фосфора. Пиридин, диоксан очищали кипячением и последующей перегонкой над щелочью, а затем над металлическим натрием. Диметилформамид, 2,6-лутидин, 2,4,6-коллидин перегоняли при пониженном давлении. Толуол сушили кипячением и перегонкой над пятиокисью фосфора и металлическим натрием, нитрометан – над мочевиной и пятиокисью фосфора, уксусный ангидрид – над безводным ацетатом натрия. Имидазол кристаллизовали из сухого толуола, TPS – из сухого гексана.

$\beta$ -Бензоилпропионовую кислоту синтезировали по методу [27], 1(3),2;4(6),5-ди-О-изопропилен-*sp*-*мио*-инозит (1) получали из свободного *мио*-инозита, как описано ранее [17]. Синтез 2-метил-(3,4,6-три-О-ацетил-1,2-дидезокси- $\alpha$ -D-глюкопирано)-[2,1-*d*]-2-оксазолина (4) осуществляли исходя из N-ацетил-D-глюказамина [20]. 1,2-Дипальмитоил-*rac*-глицерин (13) [26] и его Н-фосфонатное производное (7) [23] синтезировали как описано ранее.

**1(3)-O-Левулиноил-2,3(1);5,6(4)-ди-O-изопропилен-*sp*-*мио*-инозит (2).** К раствору 2.6 г (10 ммоль) соединения (1), 0.4 мл (5 ммоль) 1-метилимида зола, 3.4 г (29.4 ммоль) левулиновой кислоты в смеси диоксана (50 мл) и 2,6-лутидина (3 мл) в течение 1 ч по каплям добавляли раствор 6.1 г (29.7 ммоль) дициклогексилкарбодиимида в диоксане (25 мл). Реакционную смесь перемешивали еще 1 ч при 20°C, отфильтровывали дициклогексилмочевину, фильтрат разбавляли хлороформом (100 мл), промывали 2% водным раствором бикарбоната натрия (100 мл) и водный слой повторно экстрагировали хлороформом (4 × 50 мл). Объединенный органический слой высушивали  $\text{MgSO}_4$ , упаривали, остаток разделяли колоночной хроматографией на силикагеле в смеси хлороформ–ацетон (9 : 1), выделяя диацильный (3) иmonoацильный (2) продукты. Выход соединения (3) 1.21 г (26.5%),  $R_f$  0.50 (I, A), т. пл. 144–145°C (этанол). ИК-спектр ( $\nu$ ,  $\text{cm}^{-1}$ ): 1740 (C=O в COOR), 1720 (C=O в  $\gamma$ -кетоэфире), 1230 (C–O в COO), 1140, 1085 (C–O в C–O–C).  $^1\text{H}$ -ЯМР-спектр ( $\text{CDCl}_3$ ,  $\delta$ , м. д.): 1.30, 1.39, 1.43, 1.55 (4c, 12H, 2CMe<sub>2</sub>), 2.17 (c, 6H, 2CH<sub>3</sub>CO), 2.62–2.80 (m, 8H, 4CH<sub>2</sub>CO), 3.46 (dd, 1H, H-5), 4.05–4.16 (m, 2H, H-3, H-6), 4.52 (t, 1H, H-2), 5.10 (dd, 1H, H-4), 5.23 (dd, 1H, H-1). Найдено, %: C 57.94; H 6.93.  $C_{22}\text{H}_{32}\text{O}_{10}$ . Вычислено, %: C 57.88; H 7.07.

Выход целевого соединения (2) 2.18 г (61%),  $R_f$  0.18 (I, A), т. пл. 147 - 148°C (этанол). ИК-спектр ( $\nu$ , см<sup>-1</sup>): 3350 (OH), 1750 (C=O в COOR), 1730 (C=O в  $\gamma$ -кетоэфире), 1240, 1140, 1100, 1090 (C-O в C-O-C, C-O-H). <sup>1</sup>H-ЯМР-спектр (CDCl<sub>3</sub>,  $\delta$ , м. д.): 1.34, 1.42, 1.44, 1.56 (4c, 12H, 2CMe<sub>2</sub>), 2.18 (c, 3H, CH<sub>3</sub>CO), 2.41 (d, 1H, OH), 2.67 (t, 2H, CH<sub>2</sub>COOR), 2.76 (t, 2H, CH<sub>2</sub>COCH<sub>3</sub>), 3.38 (dd, 1H, H-5), 3.90 (t, 1H, H-4), 3.96 - 4.18 (m, 2H, H-3, H-6), 4.46 (t, 1H, H-2), 5.22 (dd, 1H, H-1). Найдено, %: C 56.75; H 7.39. C<sub>17</sub>H<sub>26</sub>O<sub>8</sub>. Вычислено, %: C 56.97; H 7.31.

**1(3)-O-Левулиноил-2,3(1);5,6(4)-ди-O-изопропилиден-4(6)-O-(2-ацетамидо-2-дезокси-3,4,6-три-O-ацетил- $\beta$ -D-глюкопиранозил)-sn-мио-инозит (5).** Раствор 0.60 г (1.82 ммоль) 2-метил-(3,4,6-три-O-ацетил-1,2-дидезокси- $\alpha$ -D-глюкопирано)[2,1-d]-2-оксазолина (4), 0.66 г (1.84 ммоль) соединения (2) и катализическое количество *n*-толуолсульфокислоты нагревали 50 мин при 110°C в смеси нитрометан-толуол (1 : 1, 5 мл), добавляли две капли пиридина, упаривали. Остаток разделяли на силикагеле, элюируя диэтиловым эфиром продукт гликозилирования (5). Выход 0.33 г (40.7%),  $R_f$  0.58 (I, Б), т. пл. 98 - 100°C (хлороформ-петролейный эфир). ИК-спектр ( $\nu$ , см<sup>-1</sup>): 3340, 1570 (NH), 1740 (C=O в COOR), 1720 (C=O в  $\gamma$ -кетоэфире), 1650 (C=O в амиде), 1230 (C-O в COO), 1140, 1085 (C-O в C-O-C). <sup>1</sup>H-ЯМР-спектр (CDCl<sub>3</sub>,  $\delta$ , м. д.): 1.34, 1.43, 1.49, 1.54 (4c, 12H, 2CMe<sub>2</sub>), 1.85 (c, 3H, NHAc), 2.01 - 2.09 (3c, 9H, 3CH<sub>3</sub>CO), 2.19 (c, 3H, CH<sub>3</sub>CO), 2.57 (t, 2H, CH<sub>2</sub>COOR), 2.78 (t, 2H, CH<sub>2</sub>COCH<sub>3</sub>), 3.40 (dd, 1H, H-5), 3.69 (dd, 1H, H-5'), 3.82 - 4.15 (m, 6H, H-3, H-4, H-6, H-2', H-6'a, H-6'b), 4.38 (dd, 1H, H-2), 4.65 (d, 1H, H-1', J<sub>1,2</sub> 8 Гц), 5.03 - 5.09 (m, 2H, H-3', H-4'), 5.21 (dd, 1H, H-1), 6.97 (d, 1H, NH). <sup>13</sup>C-ЯМР-спектр (CDCl<sub>3</sub>,  $\delta$ , м. д.): 20.55, 24.89, 25.76, 26.90, 28.47, 29.69, 37.92 (5CH<sub>3</sub>, ацетил, 4CH<sub>3</sub>, изопропил, 2CH<sub>2</sub>, левулиноил), 62.94, 68.43, 71.26, 71.93, 75.70, 76.09, 76.42, 77.01, 77.14, 77.69, 79.36 (C-1 - C-6, C-2' - C-6'), 100.96 (C-1'), 110.27, 112.28 (2CMe<sub>2</sub>), 169.41, 170.32, 170.52, 170.97 (6C=O). Найдено, %: C 54.71; H 6.98; N 1.97. C<sub>31</sub>H<sub>45</sub>NO<sub>16</sub>. Вычислено, %: C 54.14; H 6.60; N 2.04.

**1(3),2;4(6),5-Ди-O-изопропилиден-6(4)-O-(2-ацетамидо-2-дезокси-3,4,6-три-O-ацетил- $\beta$ -D-глюкопиранозил)-sn-мио-инозит (6).** К раствору 0.20 г (0.29 ммоль) соединения (5) в пиридине (2.9 мл) при перемешивании при 20°C добавляли раствор 0.15 г (2.9 ммоль) гидразингидрата в смеси пиридин-уксусной кислота (3 : 2, v/v, 2.9 мл), охлаждали на водно-ледянной бане и через 10 мин к реакционной смеси прибавляли 0.29 мл (2.9 ммоль) пентан-2,4-диона, перемешивали 5 мин. Реакционную массу разбавляли смесью хлороформа и воды (1 : 1, 100 мл), органический слой отделяли

и промывали 10% водным раствором бикарбоната натрия (30 мл) и водой (30 мл), сушили MgSO<sub>4</sub>, растворители удаляли. Вещество (6) очищали колоночной хроматографией на силикагеле в системе хлороформ-ацетон (10 → 20% ацетона). Выход 0.16 г (96.6%, масло),  $R_f$  0.18 (I, В). ИК-спектр ( $\nu$ , см<sup>-1</sup>): 3400, 1560 (NH), 3300 (OH), 1745 (C=O в COOR), 1670 (C=O в амиде), 1270, 1140, 1080 (C-O в C-O-C, C-O-H). <sup>1</sup>H-ЯМР-спектр (CDCl<sub>3</sub>,  $\delta$ , м. д.): 1.37, 1.43, 1.48, 1.52 (4c, 12H, 2CMe<sub>2</sub>), 1.96 (c, 3H, NHAc), 2.01 - 2.20 (3c, 9H, 3CH<sub>3</sub>CO), 2.43 (d, 1H, OH), 3.41 (dd, 1H, H-5), 3.68 (dd, 1H, H-5'), 3.72 - 4.21 (m, 7H, H-1, H-3, H-4, H-6, H-2', H-6'a, H-6'b), 4.42 (dd, 1H, H-2), 4.63 (d, 1H, H-1', J<sub>1,2</sub> 8 Гц), 5.03 - 5.10 (m, 2H, H-3', H-4'), 6.99 (d, 1H, NH). Найдено, %: C 53.36; H 6.95; N 1.98. C<sub>26</sub>H<sub>39</sub>NO<sub>14</sub>. Вычислено, %: C 52.97; H 6.67; N 2.37.

**1(3)-O-(rac-1,2-Дипальмитоилглицерофосфо)-2,3(1);5,6(4)-ди-O-изопропилиден-4(6)-O-(2-ацетамидо-2-дезокси-3,4,6-три-O-ацетил- $\beta$ -D-глюкопиранозил)-sn-мио-инозит (8).** 0.22 г (0.30 ммоль) 1,2-диацил-rac-глицеро-Н-fosфоната (7) и 0.27 г (0.45 ммоль) соединения (6) осушали упариванием с пиридином (3 × 3 мл), растворяли в том же растворителе (3 мл), при перемешивании при 20°C добавляли 0.09 мл (0.75 ммоль) пивалоилхлорида. Через 10 мин добавляли раствор 0.15 г (0.60 ммоль) иода в смеси пиридин-вода (98 : 2, v/v, 3 мл), перемешивали 5 мин. Реакционную массу разбавляли хлороформом (50 мл), промывали 5% водным раствором бисульфита калия (2 × 30 мл), водную фазу промывали хлороформом (2 × 30 мл). Объединенный хлороформный экстракт упаривали, следы пиридина удаляли упариванием с толуолом, соединение (8) выделяли колоночной хроматографией на силикагеле, элюируя смесью хлороформ-метанол (5 → 10% метанола). Выход 0.22 г (59%),  $R_f$  0.40 (II, Г), т. пл. 107 - 109°C (осаждение из ацетона). ИК-спектр ( $\nu$ , см<sup>-1</sup>): 3300, 1560 (NH), 1750 (C=O в COOR), 1675 (C=O в амиде), 1280, 1170, 1100 (C-O в C-O-C, P-O-C). <sup>13</sup>C-ЯМР-спектр (CDCl<sub>3</sub>,  $\delta$ , м. д.): 14.02, 20.51, 20.68, 22.43, 24.87, 25.81, 26.78, 28.27, 29.10, 29.65, 29.86, 31.98, 34.16, 34.23 (2CH<sub>3</sub> и 28CH<sub>2</sub>, пальмитоил, 4CH<sub>3</sub>, ацетил, 4CH<sub>3</sub>, изопропил), 62.56, 63.01, 63.89, 68.17, 71.15, 71.83, 72.06, 75.84, 75.98, 76.29, 76.77, 77.01, 77.63, 79.24 (C-1 - C-6, C-2' - C-6', C-1" - C-3"), 101.35 (C-1'), 110.20, 112.05 (2CMe<sub>2</sub>), 169.45, 170.28, 170.56, 173.51, 173.89 (6C=O). <sup>31</sup>P-ЯМР-спектр (CDCl<sub>3</sub>,  $\delta$ , м. д.): -2.14. Найдено, %: C 60.23; H 8.71; N 0.99; P 2.80. C<sub>61</sub>H<sub>106</sub>NO<sub>21</sub>P. Вычислено, %: C 60.03; H 8.75; N 1.15; P 2.54.

**1(3)-O-(rac-1,2-Дипальмитоилглицерофосфо)-4(6)-O-(2-амино-2-дезокси- $\beta$ -D-глюкопиранозил)-sn-мио-инозит (9).** 0.09 г (0.07 ммоль) соединения (8) кипятили 30 мин с 50% водной уксусной

кислотой (10 мл), упаривали, остаток растворяли в 9 мл смеси абсолютный спирт–вода (8 : 1), добавляли 1 мл 10% водного раствора гидразингидрата (0.10 г, 2 ммоль), перемешивали 2 ч при 40°C, подкисляли уксусной кислотой до pH 4, упаривали. Вещество (9) выделяли колоночной хроматографией на силикагеле, элюируя смесью хлороформ–метанол (10 : 1 → 1 : 1). Выход гликозилфосфатидилинозита (9) 0.05 г (72.5%),  $R_f$  0.19 (П, Д), т. пл. >250°C (осаждение из ацетона). ИК-спектр ( $\nu$ , см<sup>-1</sup>): 3450, 1590 (NH<sub>2</sub>), 3400 - 3300 (OH), 1740 (C=O в COOR), 1280 (P=O), 1170, 1100 - 1060 (C–O в C–O–C, P–O–C, C–O–H). <sup>1</sup>H-ЯМР-спектр (DMSO-d<sub>6</sub>, δ, м. д.): 1.12 - 1.16 (т, 6Н, 2CH<sub>3</sub>, пальмитоил), 1.46 - 1.74 (м, 56Н, 28CH<sub>2</sub>, пальмитоил), 1.92 (м, 7Н, 7 OH), 3.01 - 3.91 (м, 16Н, 11CH, инозит и глюкозамин, 5Н, глицерин), 4.55 (с, 1Н, H-1'), 5.20 (м, 1Н, CH, инозит). <sup>31</sup>P-ЯМР-спектр (DMSO-d<sub>6</sub>, δ, м. д.): 1.18. Найдено, %: C 57.67; H 9.08; N 1.02; P 3.55. C<sub>47</sub>H<sub>90</sub>NO<sub>17</sub>P. Вычислено, %: C 58.06; H 9.33; N 1.44; P 3.19.

Структуру соединения (9) подтверждали также с помощью частичного кислотного гидролиза 0.5 н. соляной кислотой в метаноле в течение 2.5 ч при кипении растворителя: среди продуктов гидролиза в присутствии заведомых образцов хроматографическими методами идентифицировали D-глюкозамин и фосфатидилинозит.

**1(3)-О-β-Бензоилпропионил-2,3(1);5,6(4)-ди-О-изопропилиден-sn-мио-инозит (10).** 1.5 г (5.8 ммоль) 1(3),2;4(6),5-Ди-О-изопропилиден-мио-инозита (1), 3.1 г (17.3 ммоль) β-бензоилпропионовой кислоты и 4.7 г (22.7 ммоль) дициклогексилкарбодиимида в пиридине (30 мл) перемешивали 3 ч при комнатной температуре, добавляли воду (15 мл) и перемешивали 5 ч, отфильтровывали дициклогексилмочевину, фильтрат упаривали, остаток в виде коричневого масла хроматографировали на силикагеле, элюируя хлороформом. Выход 1(3),4(6)-ди-О-β-бензоилпропионил-2,3(1);5,6(4)-ди-О-изопропилиден-sn-мио-инозита (11) 1.07 г (32%),  $R_f$  0.44 (I, E), т. пл. 204 - 205°C (этанол). ИК-спектр ( $\nu$ , см<sup>-1</sup>): 3000 - 2900, 1550, 1490 (C<sub>6</sub>H<sub>5</sub>), 1750 (C=O в COOR), 1680 (C=O в γ-кетоэфире), 1240 (C–O в COO), 1150, 1060 (C–O в C–O–C). <sup>1</sup>H-ЯМР-спектр (CDCl<sub>3</sub>, δ, м. д.): 1.29, 1.41, 1.44, 1.53 (4c, 12Н, 2CMe<sub>2</sub>), 2.89 (т, 4Н, 2CH<sub>2</sub>COOR), 3.34 (т, 4Н, 2CH<sub>2</sub>COPh), 3.46 (дд, 1Н, H-5), 4.08 - 4.17 (м, 2Н, H-3, H-6), 4.58 (т, 1Н, H-2), 5.17 (дд, 1Н, H-4), 5.30 (дд, 1Н, H-1), 7.40 - 7.56 и 7.92 - 8.00 (м, 10Н, 2 C<sub>6</sub>H<sub>5</sub>). Найдено, %: C 65.46; H 6.17. C<sub>32</sub>H<sub>36</sub>O<sub>10</sub>. Вычислено, %: C 66.26; H 6.26.

Выход целевого соединения (10) 1.62 г (67%),  $R_f$  0.15 (I, E), т. пл. 186 - 187°C (этанол). ИК-спектр ( $\nu$ , см<sup>-1</sup>): 3350 (OH), 2950, 1470 (C<sub>6</sub>H<sub>5</sub>),

1740 (C=O в COOR), 1690 (C=O в γ-кетоэфире), 1250 (C–O в COO), 1150, 1080 (C–O в C–O–C, C–O–H). <sup>1</sup>H-ЯМР-спектр (CDCl<sub>3</sub>, δ, м. д.): 1.35, 1.42, 1.46, 1.56 (4c, 12Н, 2CMe<sub>2</sub>), 2.40 (д, 1Н, OH), 2.86 (т, 2Н, CH<sub>2</sub>COOR), 3.34 (т, 2Н, CH<sub>2</sub>COPh), 3.39 (дд, 1Н, H-5), 3.90 - 4.01 (м, 2Н, H-4, H-6), 4.17 (дд, 1Н, H-3), 4.46 (т, 1Н, H-2), 5.25 (дд, 1Н, H-1), 7.41 - 7.58 и 7.84 - 7.99 (м, 5Н, C<sub>6</sub>H<sub>5</sub>). Найдено, %: C 62.90; H 6.56. C<sub>22</sub>H<sub>28</sub>O<sub>8</sub>. Вычислено, %: C 62.85; H 6.71.

**1(3)-О-β-Бензоилпропионил-2,3(1);5,6(4)-ди-О-изопропилиден-sn-мио-инозит-4(6)-О-водородфосфонат, триэтиламмониевая соль (12).** К раствору 1.1 г (16.1 ммоль) имидазола в хлористом метилене (10 мл) при перемешивании и охлаждении до 0°C по каплям прибавляли 0.3 мл (3.6 ммоль) фосфотрихлорида и 1.3 мл (9.5 ммоль) триэтиламина, перемешивали 10 мин, температуру понижали до -10°C, в течение 30 мин по каплям прибавляли раствор 0.5 г (1.2 ммоль) соединения (10) в хлористом метилене (10 мл), перемешивали 1 ч. Добавляли 8 мл воды, разбавляли 100 мл хлороформа, промывали холодной водой (2 × 50 мл), высушивали Na<sub>2</sub>SO<sub>4</sub>, упаривали, остаток хроматографировали на силикагеле, элюируя смесью хлороформ–метанол (2 → 5% метанола). Выход соединения (12) 0.65 г (93%, аморфное),  $R_f$  0.45 (П, Г). ИК-спектр ( $\nu$ , см<sup>-1</sup>): 2900, 1620, 1480 (C<sub>6</sub>H<sub>5</sub>), 2440 (P-H), 1735 (C=O в COOR), 1680 (C=O в γ-кетоэфире), 1320 (P=O), 1260 (P=O), 1240 (C–O в COO), 1160, 1060 (C–O в C–O–C, P–O–C). <sup>1</sup>H-ЯМР-спектр (CDCl<sub>3</sub>, δ, м. д.): 1.30 (т, 9Н, 3CH<sub>3</sub>CH<sub>2</sub>), 1.32, 1.40, 1.44, 1.52 (4c, 12Н, 4CMe<sub>2</sub>), 2.85 (т, 2Н, CH<sub>2</sub>COOR), 3.05 (к, 6Н, 3CH<sub>3</sub>CH<sub>2</sub>), 3.33 (т, 2Н, CH<sub>2</sub>COPh), 3.40 (дд, 1Н, H-5), 3.92 - 4.06 (м, 2Н, H-3, H-6), 4.56 (дд, 1Н, H-2), 5.24 (м, 2Н, H-1, H-4), 6.98 (д, 1Н, PH, J<sub>P,H</sub> 642.5 Гц), 7.29 - 7.52 и 7.87 - 8.00 (м, 5Н, C<sub>6</sub>H<sub>5</sub>). <sup>31</sup>P-ЯМР-спектр (CDCl<sub>3</sub>, δ, м. д.): -1.29. Найдено, %: C 57.30; H 7.25; N 2.92; P 4.96. C<sub>28</sub>H<sub>43</sub>NO<sub>10</sub>P. Вычислено, %: C 57.53; H 7.41; N 2.39; P 5.30.

**1(3)-О-β-Бензоилпропионил-2,3(1);5,6(4)-ди-О-изопропилиден-4(6)-O-(rac-1,2-дипальмитоил-глицерофосфо)-sn-мио-инозит (14).**

a. 0.30 г (0.51 ммоль) Н-фосфоната (12) и 0.29 г (0.51 ммоль) 1,2-дипальмитоил-rac-глицерина (13) высушивали упариванием с пиридином (3 × 4 мл), растворяли в пиридине (3 мл) и при перемешивании при 20°C добавляли 0.15 мл (1.27 ммоль) пиридилахлорида. Через 10 мин добавляли раствор 0.26 г (1 ммоль) иода в смеси пиридин–вода (98 : 2, v/v, 5 мл), перемешивали 10 мин, разбавляли хлороформом (50 мл), промывали 1 M раствором бисульфита калия (2 × 25 мл), высушивали Na<sub>2</sub>SO<sub>4</sub>, упаривали, хроматографией на силикагеле в системе хлороформ–метанол (2 → 5% метанола) выделяли фосфодиэфир (14). Выход 0.40 г

(75.4%),  $R_f$  0.51 (II, Г), т. пл. 201 - 203°C (осаждение из ацетона). ИК-спектр ( $\nu$ ,  $\text{cm}^{-1}$ ): 3050, 1495 ( $\text{C}_6\text{H}_5$ ), 1730 (C=O в COOR), 1680 (C=O в  $\gamma$ -кетоэфире), 1280, 1220, 1120, 1075 (P=O, C-O в C-O-C, P-O-C).  $^1\text{H}$ -ЯМР-спектр ( $\text{CDCl}_3$ - $\text{CD}_3\text{OD}$ , 3 : 1;  $\delta$ , м. д.): 0.82 (т, 6Н,  $2\text{CH}_3$ , пальмитоил), 1.17 - 1.50 (м, 60Н,  $2\text{CMe}_2$  и  $24\text{CH}_2$ , пальмитоил), 1.52 (м, 4Н,  $\beta\text{-CH}_2$ ), 2.21 (м, 4Н,  $\alpha\text{-CH}_2$ ), 2.80 (т, 2Н,  $\text{CH}_2\text{COOR}$ ), 3.31 (т, 2Н,  $\text{CH}_2\text{COPh}$ ), 3.39 (дд, 1Н, H-5), 3.63 (дд, 1Н, H-6), 3.96 - 4.28 (м, 6Н, H-3, 5Н глицерина), 4.43 (дд, 1Н, H-2), 5.24 (м, 2Н, H-1, H-4), 7.40 - 7.61 и 7.83 - 8.02 (м, 5Н,  $\text{C}_6\text{H}_5$ ).  $^{31}\text{P}$ -ЯМР-спектр ( $\text{CDCl}_3$ - $\text{CD}_3\text{OD}$ , 3 : 1;  $\delta$ , м. д.): -2.42. Найдено, %: С 64.64; Н 8.97; Р 2.85.  $\text{C}_{57}\text{H}_{95}\text{O}_{15}\text{P}$ . Вычислено, %: С 65.12; Н 9.11; Р 2.95.

б. 0.30 г (0.51 ммоль) соединения (12) и 0.46 г (1.53 ммоль) 2,4,6-триизопропилбензолсульфохлорида в пиридине (20 мл) перемешивали 40 мин при 20°C, температуру понижали до 0°C, по каплям прибавляли раствор 0.87 г (1.53 ммоль) 1,2-диацил-*rac*-глицерина (13) в пиридине (20 мл), перемешивали 2 сут при 20°C, добавляли 10 мл 0.2 М раствора иода в смеси пиридин-тетрагидрофuran-вода (5 : 5 : 0.1), перемешивали 2 ч, разбавляли хлороформом (150 мл), промывали 5% водным раствором бисульфита калия ( $2 \times 200$  мл), водой ( $2 \times 200$  мл), высушивали  $\text{Na}_2\text{SO}_4$ , упаривали, хроматографией на силикагеле выделяли соединение (14). Выход 0.22 г (40%).

в. Фосфодиэфир (14) получали аналогично соединению (8) из 0.37 г (0.50 ммоль) 1,2-диацил-*rac*-глицеро-Н-фосфоната (7) и 0.32 г (0.75 ммоль) соединения (10) при активирующем действии 0.15 мл (1.25 ммоль) пивалоилхлорида. Промежуточный Н-фосфонатный диэфир окисляли действием раствора 0.26 г (1 ммоль) иода в смеси пиридин-вода (98 : 2, v/v, 5 мл). Выход продукта (14) после хроматографии на силикагеле 0.37 г (70%).

**1(3),2;4(6),5-Ди-О-изопропилиден-6(4)-О-(*rac*-1,2-дипальмитоилглицерофосфо)-sn-мио-инозит (15).** К раствору 0.20 г (0.19 ммоль) соединения (14) в смеси этанол-вода (10 : 1, 300 мл) при перемешивании добавляли 0.18 г (3.60 ммоль) гидразингидрата, перемешивали 50 мин при 40°C, добавляли 0.5 мл уксусной кислоты, упаривали, хроматографией на силикагеле в системе хлороформ-метанол (5 → 20% метанола) выделяли соединение (15). Выход 0.10 г (61%),  $R_f$  0.33 (II, Г), т. пл. 219 - 220°C (осаждение из ацетона). ИК-спектр ( $\nu$ ,  $\text{cm}^{-1}$ ): 3340 (ОН), 1740 (C=O в COOR), 1280, 1190, 1060 (C-O-C, P-O-C, C-O-H).  $^1\text{H}$ -ЯМР-спектр ( $\text{CDCl}_3$ - $\text{CD}_3\text{OD}$ , 3 : 1;  $\delta$ , м. д.): 0.82 (т, 6Н,  $2\text{CH}_3$ , пальмитоил), 1.02 - 1.42 (м, 60Н,  $2\text{CMe}_2$  и  $24\text{CH}_2$ , пальмитоил), 1.53 (м, 4Н,  $\beta\text{-CH}_2$ ), 2.08 (д, 1Н, OH), 2.25 (м, 4Н,  $\alpha\text{-CH}_2$ ), 3.39 (дд, 1Н, H-5), 3.64 (дд, 1Н, H-6), 3.78 - 4.17

(м, 7Н, H-1, H-3, 5Н, глицерин), 4.48 (дд, 1Н, H-2), 5.15 (дд, 1Н, H-4). Найдено, %: С 66.85; Н 9.61; Р 3.70.  $\text{C}_{47}\text{H}_{87}\text{O}_{13}\text{P}$ . Вычислено, %: С 63.34; Н 9.84; Р 3.48.

**1(3)-O-(2-Ацетамидо-2-дезокси-3,4,6-три-О-ацетил- $\beta$ -D-глюкопиранозил)-2,3(1);5,6(4)-ди-О-изопропилиден-4(6)-O-(*rac*-1,2-дипальмитоилглицерофосфо)-sn-мио-инозит (16).** Раствор 0.12 г (0.36 ммоль) оксазолина (4), 0.32 г (0.36 ммоль) фосфата (15) и каталитическое количество *n*-толуолсульфокислоты в смеси толуол-нитрометан (3 : 1, 4 мл) нагревали 50 мин при 110°C, добавляли каплю пиридина, упаривали, остаток хроматографировали на силикагеле в системе хлороформ-метанол (5 → 10% метанола). Выход фосфодиэфира (16) 0.22 г (51%),  $R_f$  0.38 (II, Г), т. пл. 106 - 108°C (осаждение из ацетона). ИК-спектр ( $\nu$ ,  $\text{cm}^{-1}$ ): 3300, 1580 (NH), 1740 (C=O в COOR), 1680 (C=O в амине), 1280, 1170, 1070 (C-O в C-O-C, P-O-C).  $^{13}\text{C}$ -ЯМР-спектр ( $\text{CDCl}_3$ ,  $\delta$ , м. д.): 14.11, 20.51, 20.65, 22.68, 24.85, 25.94, 26.87, 28.32, 29.25, 29.38, 29.74, 31.92, 34.07 ( $2\text{CH}_3$  и  $28\text{CH}_2$ , пальмитоил,  $4\text{CH}_3$ , ацетил,  $4\text{CH}_3$ , изопропил), 62.85, 63.02, 64.63, 68.25, 70.30, 71.09, 71.86, 75.91, 76.04, 76.38, 76.70, 77.00, 77.63, 79.10 (C-1 - C-6, C-2' - C-6', C-1' - C-3'), 100.76 (C-1'), 110.24, 112.07 ( $2\text{CMe}_2$ ), 169.15, 170.29, 170.49, 173.49, 173.77 (6C=O). Найдено, %: С 60.40; Н 9.15; N 0.91; Р 2.71.  $\text{C}_{61}\text{H}_{106}\text{NO}_{21}\text{P}$ . Вычислено, %: С 60.03; Н 8.75; N 1.15; Р 2.54.

**1(3)-O-(2-Амино-2-дезокси- $\beta$ -D-глюкопиранозил)-4(6)-O-(*rac*-1,2-дипальмитоилглицерофосфо)-sn-мио-инозит (17).** 0.12 г (0.10 ммоль) соединения (16) кипятили 30 мин с 50% водной уксусной кислотой (10 мл), раствор упаривали, остаток растворяли в 9 мл смеси абсолютный спирт-вода (8 : 1), добавляли 1 мл 10% водного раствора гидразингидрата (0.10 г, 2 ммоль), перемешивали 2 ч при 40°C, подкисляли уксусной кислотой до pH 4, упаривали. Вещество (17) выделяли хроматографией на силикагеле, элюируя смесью хлороформ-метанол (10 : 1 → 1 : 1). Выход 0.07 г (69.2%),  $R_f$  0.19 (II, Д), т. пл. >250°C (осаждение из ацетона). ИК-спектр ( $\nu$ ,  $\text{cm}^{-1}$ ): 3400, 1600 (NH<sub>2</sub>), 3400 - 3300 (ОН), 1740 (C=O в COOR), 1260 (P=O), 1100, 1070, 1060, 1030 (C-O в C-O-C, P-O-C, C-O-H).  $^1\text{H}$ -ЯМР-спектр ( $\text{DMSO}-d_6$ ,  $\delta$ , м. д.): 1.10 - 1.13 (т, 6Н,  $2\text{CH}_3$ , пальмитоил), 1.40 - 1.69 (м, 56Н,  $28\text{CH}_2$ , пальмитоил), 1.94 (м, 7Н, OH), 3.02 - 3.91 (м, 16Н, 11CH, инозит и глюказамин, 5Н, глицерин), 4.57 (с, 1Н, H-1'), 5.19 - 5.23 (м, 1Н, CH, инозит).  $^{31}\text{P}$ -ЯМР-спектр ( $\text{DMSO}-d_6$ ,  $\delta$ , м. д.): 1.07. Найдено, %: С 57.90; Н 9.17; N 1.10; Р 3.41.  $\text{C}_{47}\text{H}_{90}\text{NO}_{17}\text{P}$ . Вычислено, %: С 58.06; Н 9.33; N 1.44; Р 3.19.

Результаты частичного кислотного гидролиза гликофосфолипида (17) в условиях, описанных

для соединения (9), аналогично подтверждали его структуру.

Работа, описанная в данной статье, выполнялась при поддержке Российского фонда фундаментальных исследований (грант № 94-03-09044).

## СПИСОК ЛИТЕРАТУРЫ

1. Рунова О.Б., Крылова В.Н., Шастина Н.С., Еремин С.В., Степанов А.Е., Швец В.И. // Биоорганская химия. 1993. Т. 19. № 4. С. 494 - 504.
2. Klyashchitskii B.A., Shvets V.I., Preobrazhenskii N.A. // Chem. Phys. Lipids. 1969. V. 3. № 4. P. 394 - 400.
3. Швец В.И., Евстигнеева Р.П. // Журн. орган. химии. 1972. Т. 8. Вып. 7. С. 1550 - 1552.
4. IUPAC-IUB Commission on Biochemical Nomenclature (CBN) // Eur. J. Biochem. 1967. V. 2. P. 127; Молекулярная биология. 1968. Т. 2. С. 784.
5. Low M.G. // Biochim. et biophys. acta. 1989. V. 988. № 3. P. 427 - 454.
6. Ferguson M.A.G., Williams A.F. // Ann. Rev. Biochem. 1988. V. 57. P. 285 - 320.
7. Saltiel A.R., Sorbara-Cazan L.R. // Biochem. and Biophys. Res. Commun. 1987. V. 149. № 3. P. 1084 - 1092.
8. Murakata Ch., Ogawa T. // Carbohydr. Res. 1992. V. 235. P. 95 - 114.
9. Plowde R., d'Alarcos M. // Tetrahedron Lett. 1990. V. 31. № 19. P. 2693 - 2696.
10. Berlin W.K., Zhang W.-Sh., Shen T.Y. // Tetrahedron. 1991. V. 47. № 1. P. 1 - 20.
11. Berlin W.K., Wang Sh.-N., Shen T.Y. // Tetrahedron Lett. 1990. V. 31. № 8. P. 1109 - 1112.
12. Verduyn R., Elie C.J.J., Dreef C.E., van der Marel G.A., van Boom J.H. // Recueil trav. chim. Pays-Bas. 1990. V. 109. № 12. P. 591 - 593.
13. Zapata A., Martin-Lomas M. // Carbohydr. Res. 1992. V. 234. P. 93 - 106.
14. Mootoo D.R., Konradsson P., Fraser-Reid B. // J. Amer. Chem. Soc. 1989. V. 111. № 22. P. 8540 - 8542.
15. Udodong U.E., Madsen R., Roberts C., Fraser-Reid B. // J. Amer. Chem. Soc. 1993. V. 115. № 17. P. 7886 - 7887.
16. Шастина Н.С., Эйнишман Л.И., Степанов А.Е., Швец В.И. // Биоорганская химия. 1994. Т. 20. № 1. С. 71 - 75.
17. Gigg J., Gigg R., Payne S., Conant R. // Carbohydr. Res. 1985. V. 142. № 1. P. 132 - 134.
18. Швец В.И., Степанов А.Е., Крылова В.Н., Гулак П.В. myo-Инозит и фосфоинозитиды. М.: Наука, 1987. С. 94.
19. Zurabyan S.E., Antonenko T.S., Khorlin A.Ya. // Carbohydr. Res. 1970. V. 15. № 1. P. 21 - 27.
20. Бовин Н.В., Зурабян С.Э., Хорлин А.Я. // Изв. АН СССР. Сер. хим. 1981. № 12. С. 2806 - 2808.
21. Jones M., Rana K.K., Ward J.G. // Tetrahedron Lett. 1989. V. 30. № 39. P. 5353 - 5356.
22. Lindh I., Stawinski J. // J. Org. Chem. 1989. V. 54. № 6. P. 1338 - 1342.
23. Франтова А.Ю., Бушнев А.С., Звонкова Е.Н., Швец В.И. // Биоорганская химия. 1991. Т. 17. № 11. С. 1562 - 1573.
24. Molotkovsky Y.G., Bergelson L.D. // Chem. Phys. Lipids. 1973. V. 11. P. 135 - 147.
25. Николаев А.В., Рябцева Е.В., Шибаев В.Н., Кочетков Н.К. // Биоорганская химия. 1989. Т. 15. № 12. С. 1649 - 1659.
26. Молотковский Ю.Г., Бергельсон Л.Д. // Изв. АН СССР. Сер. хим. 1967. № 11. С. 2498 - 2504.
27. Beilstein. Berlin, 1944. V. 10. P. 696.

## Asymmetrically Substituted myo-Inositol. Part XXXVII<sup>1</sup>: Synthesis of Glycosylphosphatidylinositol Derivatives

N. S. Shastina, L. I. Einisman, I. I. Kashiricheva, A. E. Stepanov,<sup>2</sup> and V. I. Shvets

Lomonosov Academy of Fine Chemical Technology, pr. Vernadskogo 86, Moscow, 117571 Russia

**Abstract** — The total synthesis of regioisomeric 1(3)-O-(rac-1,2-dipalmitoylglycerophospho)-4(6)-O-(2-amino-2-deoxy- $\beta$ -D-glucopyranosyl)- $\alpha$ 1-myoinositol and 1(3)-O-(2-amino-2-deoxy- $\beta$ -D-glucopyranosyl)-4(6)-O-(rac-1,2-dipalmitoylglycerophospho)- $\alpha$ n-myoinositol is described. The synthetic route included stages of consecutive selective protecting-deprotecting of the hydroxyl groups of the inositol ring, the amino glycosylation by the oxazoline method, and formation of phosphodiesters of substituted myo-inositol derivatives using two modes of the hydrogen-phosphate method.

**Key words:** myo-inositol, glycosylphosphatidylinositol, glycosylation by sugars' oxazolines, and hydrogen-phosphate method.

<sup>1</sup> For part XXXVI see [1].

<sup>2</sup> To whom correspondence should be addressed.